

Теперь мы имеем возможность проверить предположение о нормальном распределении оценок постоянной, полученных в разных экспериментах, вокруг ее истинного значения, которое приближенно задается вычисленной объединенной оценкой. Найдем  $S_w = \left(\frac{w_1 - w}{\sigma_1}\right)^2 + \left(\frac{w_2 - w}{\sigma_2}\right)^2 = 2.3$  и  $S_d = 4.9$  и применим критерий  $\chi^2$ . Обе величины удовлетворяют 2-процентному уровню значимости для  $\chi^2_1$  распределения. Таким образом, нет оснований считать, что полученные в разных экспериментах оценки измеряемых постоянных содержат систематические ошибки.

Выполненное рассмотрение не только дает уточненные значения столкновительных уширения и сдвига  $D_2$ -линии рубидия метаном, но свидетельствует о высокой надежности таких измерений, осуществляемых методом магнитного сканирования.

Авторы благодарят М. П. Чайку за помощь в работе и Н. И. Калитеевского за ценные дискуссии.

#### Л и т е р а т у р а

- [1] В. Н. Белов. Опт. и спектр., 51, 379, 1981.
- [2] О. М. Риш, М. П. Чайка. Опт. и спектр., 38, 1035, 1975.
- [3] В. Н. Ребане. Опт. и спектр., 42, 219, 1977; 44, 644, 1978.
- [4] А. Е. Булышев, Н. Г. Преображенский. Опт. и спектр., 44, 178, 1978; 44, 823, 1978.
- [5] Н. Джонсон, Ф. Лион. Статистика и планирование эксперимента в технике и науке. Методы обработки данных. «Мир», М., 1980.

Поступило в Редакцию 26 февраля 1981 г.

УДК 539.184.01

## ЭФФЕКТИВНОСТЬ СИЛЬНОЙ ОПТИЧЕСКОЙ НАКАЧКИ $D_1$ И $D_2$ -ЛИНИЯМИ В УСЛОВИЯХ РЕЛАКСАЦИОННОГО РАЗРЫВА СВЕРХТОНКОЙ СВЯЗИ В ВОЗБУЖДЕННОМ СОСТОЯНИИ

Ю. Л. Малинкевич

Эффективность оптической накачки с точки зрения достижения максимальной намагниченности паров рассматривалась ранее теоретически для случая релаксации как в основном, так и в возбужденном состояниях при накачке  $D_1$ -линией [1]. Существенно, что полученные при этом результаты справедливы лишь для значений скорости релаксации  $\Gamma$  в возбужденном состоянии, удовлетворяющих условию  $\Gamma < \Omega^*$ , где  $\Omega^*$  — сверхтонкое (СТ) расщепление возбужденного состояния. Действительно, при увеличении давления буферного газа характерная скорость релаксации превышает  $\Omega^*$  и сверхтонкая связь не успевает восстановиться за время между столкновениями. Происходит релаксационный разрыв СТС (РРСТС). (Экспериментально РРСТС исследовался в работе [2]). Уравнения накачки [3] для диагональных элементов матрицы плотности в базисе  $(J, I, F, m_F)$  становятся несправедливыми для описания процессов с участием возбужденных  $P_J$ -состояний. Это есть следствие нарушения секулярного приближения [4], при котором можно было пренебречь связью диагональных и недиагональных элементов матрицы плотности. Однако при переходе к «разомкнутому» базису  $(J, m_J, I, \mu)$  для описания  $P_J$ -состояний задача существенно упрощается.

В работе на основе построенных в таком базисе уравнений проведен численный расчет спиновой поляризации для сильной оптической накачки в случае  $\Gamma \gg \Omega^*$ . Практический интерес к таким экспериментальным условиям вызван магнитометрическими приложениями высокотемпературной накачки, предлагающей введение буферных газов при концентрациях порядка  $10^{19} \text{ см}^{-3}$  [5]. Уравнения имеют вид

$$n_M^F = -A \sum_{m' \mu'} P_{FM}^{m' \mu'} \uparrow(q) n_M^F + \frac{1}{\tau} \sum_{m' \mu' q'} P_{FM}^{m' \mu'} \downarrow(q') N_{m' \mu'} + \sum_{F'M'} R_{MM'}^{FF'} n_{M'}^{F'}, \quad (1a)$$

$$\dot{N}_{m' \mu'} = A \sum_{F'M'} P_{m' \mu'}^{FM'}(q) n_M^F - \frac{1}{\tau} N_{m' \mu'} - \Gamma(N_{m' \mu'} - N_{ep}(\mu')), \quad (1b)$$

где  $n_M^F$ ,  $N_{m \mu}$  — населенности зеемановских подуровней основного и возбужденного состояний,  $A$  — интенсивность накаивающего света,  $\tau$  — время жизни  $P_J$ -уровней,  $R_{MM'}^{FF'}$  — скорости релаксации для основного состояния,  $P_{FM}^{m' \mu'}(q)$  — вероятность оптического перехода при поглощении или испускании света поляризации  $q$  [6].

Член, описывающий релаксационную кинетику в возбужденном состоянии, получен из общего релаксационного уравнения [7], которое в представлении  $(Jm, I \mu)$  имеет вид

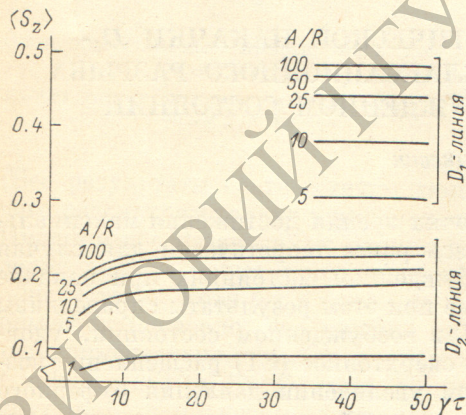
$$\dot{N}_{m \mu \theta} = - \sum_{m z} (-1)^{m_2 - m_1} \gamma_j^z \begin{bmatrix} J & J & z \\ m' & -m' & 0 \end{bmatrix} \begin{bmatrix} J & J & z \\ m & -m & 0 \end{bmatrix} N_{m \mu \theta}.$$

Диагональность уравнения по ядерным индексам есть следствие «инерции» спина ядра при столкновениях [8]. Далее использовалось приближение  $\gamma_j^z \approx \Gamma$  с учетом отсутствия безызлучательных переходов сверху вниз  $\gamma_j^0 = 0$  [3]

$$\dot{N}_{m \mu \theta} = -\Gamma \left( N_{m \mu \theta} - \sum_m (-1)^{2J-2m'} \frac{N_{m \mu'}}{2J+1} \right) = -\Gamma (N_{m \mu \theta} - N_{ep}(\mu')).$$

В стационарном случае уравнение (1б) легко решается; последующая подстановка в (1а) позволяет получить замкнутую систему уравнений для населенностей лишь основного состояния.

В работе найдено решение системы (1а) для  $^{133}\text{Cs}$ ,  $I=7/2$ , для стационарного случая и различных значений параметров задачи  $A/R$  и  $\Gamma \tau$  при накачке циркулярно поляризованным светом. Результаты расчета (см. рисунок) показали, что достижимая в процессе накачки  $D_1$ -линией величина  $\langle S_z \rangle$  не зависит от параметра



Зависимость равновесного значения электронной спиновой поляризации  $\langle S_z \rangle$  от  $\Gamma \tau$  — отношения скорости столкновительного смешивания  $\Gamma$  к скорости спонтанного высыпчивания  $1/\tau$  — для различных величин  $A/R$  — отношения скорости накачки к скорости релаксации в основном состоянии.

смешивания в  $P_{1/2}$ -состоянии  $\Gamma \tau$ . При накачке  $D_2$ -линией зависимость  $\langle S_z \rangle$  от  $\Gamma \tau$  слабая. Это допускает определенный произвол в выборе давления буферного газа, что важно при практической реализации такой накачки. Этот результат понятен из того, что соотношение  $\Gamma > \Omega^*$  влечет да собой  $\Gamma \tau \gg 1$  для  $P_{1/2}$ -состояния и  $\Gamma \tau > 1$  для  $P_{3/2}$ . Последние два неравенства означают, что за время жизни в возбужденном состоянии поляризация электронного спина этого состояния успевает полностью «погибнуть». Из сравнения графиков для  $D_1$ - и  $D_2$ -линний видна существенная разница в эффективностях накачки, реализуемой каждой линией. Так, при накачке  $D_1$ -линией величина  $\langle S_z \rangle$  с увеличением отношения  $A/R$  стремится к своему максимально возможному пределу  $1/2$ , в то время как при накачке  $D_2$ -линией  $\langle S_z \rangle$  при увеличении  $A/R$  имеет выраженный предел  $1/4$ . Сопоставление расчетов для сильной накачки  $D_1$ -линией ( $A/R > 10$ ) при малых давлениях буферного газа  $\Gamma < \Omega^*$  и в условиях РРСТС (см. рис. 3 работы [1]) демонстрирует практически одинаковую эффективность накачки в этих двух случаях (различие величин  $\langle S_z \rangle$  при заданном

отношении  $A/R$  составляет  $\leqslant 5\%$ ). Это свидетельствует о том, что при сильной накачке доминирующую роль в кинетике цикла играют релаксационные процессы в основном состоянии (действительно, для сопоставленных двух случаев матрицы релаксационных переходов между подуровнями  $S_{1/2}$ -состояния и матрицы коэффициентов оптического поглощения этого состояния соответственно одинаковы). В этом смысле режим сильной накачки ( $A/R > 10$ ) существенно отличается от режима слабой накачки ( $A/R \ll 1$ ), при котором достигимая поляризация  $\langle S_z \rangle$  существенно зависит от параметра смешивания в  $P_{1/2}$ -состоянии [9].

Автор выражает благодарность Е. И. Дашевской за советы, высказанные при обсуждении работы.

#### Л и т е р а т у р а

- [1] Е. И. Дашевская, Ю. Л. Малинкевич. Опт. и спектр., 49, 460, 1980.
- [2] M. Elbel, W. B. Schneider. Physica, 68, 146, 1973.
- [3] W. Наррег. Rev. Mod. Phys., 44, 169, 1972.
- [4] J. P. Barrat, C. Cohen-Tannoudji. J. Phys. Radium., 22, 329, 1961; 22, 443, 1961.
- [5] W. Наррег, A. С. Там. Phys. Rev., A16, 1877, 1977.
- [6] И. И. Собельман. Введение в теорию атомных спектров. Физматгиз, М., 1963.
- [7] В. Н. Ребане, Т. К. Ребане. Опт. и спектр., 33, 405, 1972.
- [8] B. R. Bulos, W. Наррег. Phys. Rev., A4, 849, 1971.
- [9] Е. И. Дашевская, Е. А. Кобзева. Опт. и спектр., 51, 589, 1981.

Поступило в Редакцию 5 марта 1981 г.

УДК 621.373 : 535+539.184.28

## О НЕЛИНЕЙНОЙ ЛАЗЕРНОЙ СПЕКТРОСКОПИИ ЗЕЕМАНОВСКОГО МУЛЬТИПЛЕТА

И. П. Коновалов, Е. Д. Проценко и Е. С. Шабаев

Мультиплетная структура в аномальном эффекте Зеемана несет богатую информацию о свойствах квантовых состояний [1]. В ряде экспериментов достигнуто ее разрешение методами нелинейной лазерной спектроскопии для  $\sigma$ -компонент двухфотонных переходов [2]. В настоящей работе впервые предложен и осуществлен способ разрешения мультиплета  $\pi$ -компоненты однофотонного перехода. Его суть в расщеплении лэмбовского провала мощности газового лазера, когда внешнее магнитное поле, наложенное на активную среду, параллельно электрическому вектору поляризованного лазерного излучения. При такой геометрии опыта в генерации участвуют только переходы без изменения магнитного квантового числа —  $\Delta m=0$ . Из теории Лэмба известно, что мощность газового лазера  $\sim \alpha/\beta$ , где  $\alpha$  — усиление активной среды с учетом потерь, а  $\beta$  — насыщение усиления собственным полем. Можно показать, что при  $\gamma \leqslant |\delta| \ll \nu_d$  ( $\gamma$  — однородная,  $\nu_d$  — допплеровская полуширина перехода,  $\delta = \Delta g \mu_B H$ ,  $\Delta g$  — разность факторов Ланде уровней,  $\mu_B$  — магнетон Бора,  $H$  — напряженность магнитного поля)  $\alpha(H) \approx \alpha(0)$  и особенности частотной формы мощности лазера определяет  $\beta \sim 1 + \sum_{m=-j}^{m=j} a_m \gamma^2 / [\gamma^2 + (\omega - \omega_0 - m\delta)^2]$ ,

где  $\omega$  — частота генерации,  $\omega_0$  — центральная частота перехода,  $j$  — значение полного момента уровней (при  $|\Delta j|=1$  — значение меньшего из двух полных моментов). Видно, что должно наблюдаться несколько провалов с шириной, определяемой  $\gamma$ , сдвинутых друг от друга по частоте на  $|\delta|$ . Их относительные веса  $a_m \left( \sum_{m=-j}^{m=j} a_m = 1 \right)$  зависят как от полных моментов